

**HOCHSCHULE  
HANNOVER**  
UNIVERSITY OF  
APPLIED SCIENCES  
AND ARTS

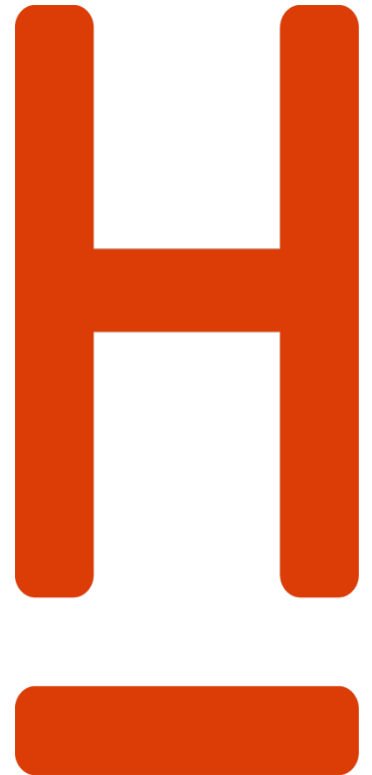
–  
*Fakultät IV  
Wirtschaft und  
Informatik*

# Computergrafik 2

## Kantendetektion

*Vorlesung Bachelor Angewandte Informatik / Mediendesigninformatik  
Wintersemester 2022/2023*

Prof. Dr. Ingo Ginkel

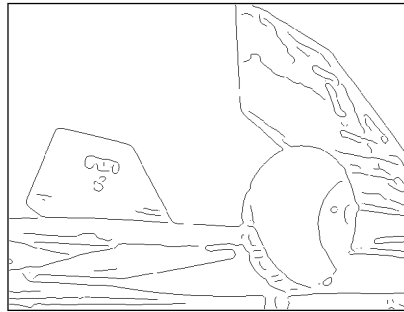


# Kantendetektion - Motivation

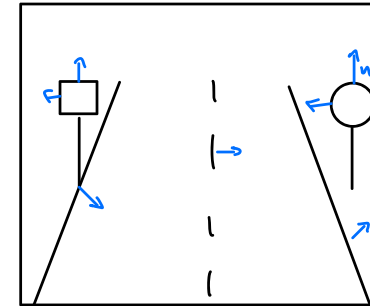
- Kanten spielen eine dominante Rolle im menschlichen Sehen: Bildinhalt ist bereits erkennbar, wenn nur wenige Konturen sichtbar sind (s. Karikaturen).
- Subjektiver Schärfeeindruck eines Bildes steht in direktem Zusammenhang mit seiner Kantenstruktur.
- Ein Bild kann (beinahe) vollständig aus Kanten rekonstruiert werden.
- Vorverarbeitungsschritt zum weiteren „Verstehen“ des Bildes.



(a)



(b)



- **Konkretes Anwendungsbeispiel:** Finde Linienmarkierungen auf der Straße (Dashcam..), weitere Verarbeitung dann Interpretation der Bedeutung (Unterscheidung Straßenmarkierung vs. andere Kanten etc.), danach z.B. Selektion der relevanten Kanten für Spurhalteassistent, ...

# Kantendetektion - Grundlagen



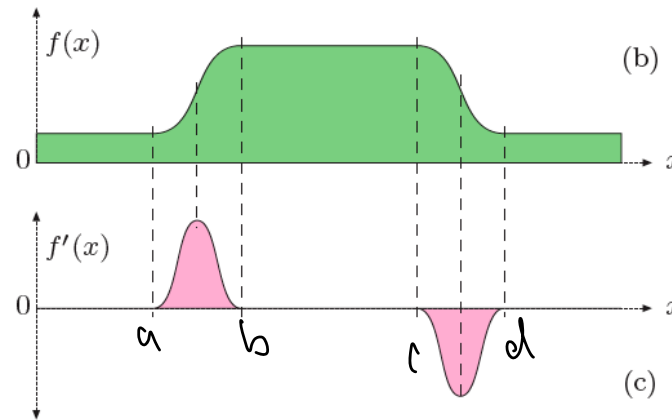
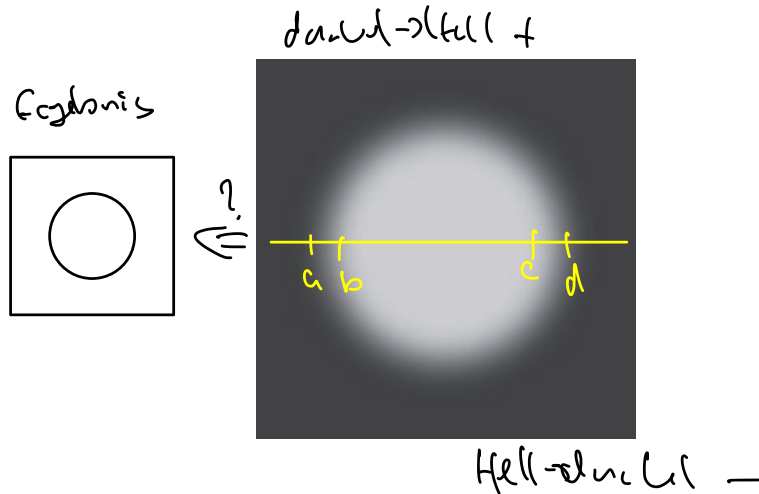
Ableitung



- Kanten sind Bildorte, an denen sich die Intensität auf kleinem Raum stark verändert.
- Die Intensitätsänderung bezogen auf die Bilddistanz wird durch die Ableitung der Bildintensität gemessen. In einer Dimension (z.B. entlang einer Bildzeile):

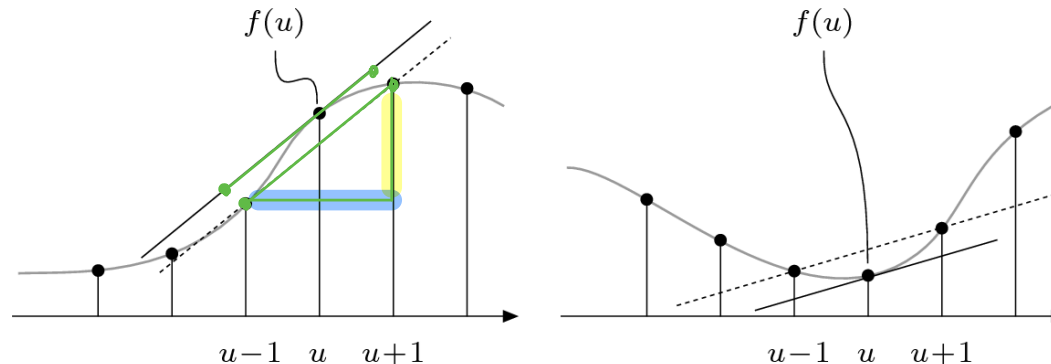
$$f'(u) = \frac{df(u)}{du}$$

- Nicht notwendig sprunghaft, kann auch „steil“ ansteigen im Sinne eines kontinuierlichen Übergangs



# Kantendetektion - Grundlagen

- Für eine diskrete Funktion ist eine Ableitung nicht definiert
  - **Daher:** Näherung schätzen
  - **Wie:** Lege eine Gerade durch benachbarte Punkte und berechne die Steigung der Geraden



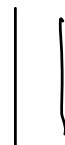
$$\frac{df}{dx}(u) \approx \frac{f(u+1) - f(u-1)}{(u+1) - (u-1)} = \frac{f(u+1) - f(u-1)}{2}.$$

Symmetrische Differenz

# Kantendetektion - Grundlagen

$$-127 < u < 127$$

■ **Achtung** beim Wertebereich:  $\frac{df}{dx}(u) \approx \frac{f(u+1) - f(u-1)}{(u+1) - (u-1)} = \frac{f(u+1) - f(u-1)}{2}$ .



Senkrecht  
buntes Linien

- $f(u) \in \{0, 1, 255\} \Rightarrow \frac{df}{dx}(u) \in \{-127, \dots, 127\}$
- Es wird also zwischen „fallender“ und „steigender“ Kante unterschieden.
- Da dieser Wert pro Pixel berechnet wird, bietet es sich an ein Bild-Array für die geschätzten Ableitungen zu speichern
- Dazu um +127 verschieben (damit es wieder in ein 1-Byte-unsigned-char passt), vor Berechnungen beim Lesen aus dem Bild die Verschiebung aber wieder rückgängig machen!

■ **Bisher:**

- **Kantenschätzung** (d.h. hohe Ableitung finden) nur entlang einer Bildzeile möglich (d.h. **senkrechte Kanten**)

■ **Benötigt:**

→ nur Zeilen oder Spaltenweise

- einen Mechanismus, der Zeilen- und Spaltenweise arbeitet
- auch „**schräge Kanten**“ und deren **Ausrichtung** (d.h. **Winkel zur Koordinatenachse**) sollen **gefunden** werden.

# Kantendetektion - Grundlagen

ein Wert als  
konstant sehen!

- Bild ist die diskrete Approximation einer 2-dimensionalen Funktion
  - Nutze Ableitung entlang einer der Koordinatenrichtungen (mathematisch: partielle Ableitung), d.h. verfolge die Intensitätsänderung entlang einer Zeile oder Spalte

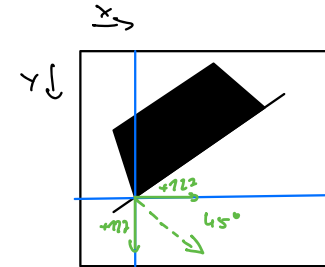
$$I_x = \frac{\partial I}{\partial x}(u, v) \quad \text{und} \quad I_y = \frac{\partial I}{\partial y}(u, v)$$

- **Definition:** Den Vektor der **partiellen Ableitungen** bezeichnet man als Gradient.

$$\nabla I(u, v) = \begin{pmatrix} I_x(u, v) \\ I_y(u, v) \end{pmatrix} = \begin{pmatrix} \frac{\partial I}{\partial x}(u, v) \\ \frac{\partial I}{\partial y}(u, v) \end{pmatrix}$$

2D-Vektor

(gesprochen: Nabla von I)



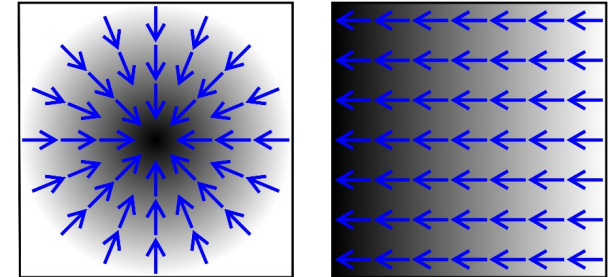
$$I_x = 127$$
$$I_y = -127$$

- **Geometrische Interpretation:**
  - Betrachtet man die Bildmatrix als Skalarfeld, so ist der Gradient an einem Punkt ein Vektor, der in Richtung des steilsten Anstieges des Skalarfeldes weist.

# Kantendetektion - Grundlagen

## Beispiel:

- In den Skalarfeldern rechts gibt der **blaue Pfeil (=Gradient)** die Richtung des steilsten Anstiegs an
- **Achtung:** anders als in der Bildverarbeitung üblich entspricht schwarz hohen Werten, weiß niedrigen Werten



Quelle: Wikipedia

- Der Betrag des Vektors entspricht der Stärke des Anstiegs.
- Der Betrag des Gradienten  $|\nabla I| = \sqrt{I_x^2 + I_y^2}$ , ist rotationsinvariant.
  - d.h. Er ist unabhängig von der Orientierung von Bildstrukturen.
  - Diese Eigenschaft ist für die richtungsunabhängige (isotrope) Lokalisierung von Kanten wichtig und daher ist  $|\nabla I|$  auch die Grundlage vieler praktischer Kantendetektoren.

# Kantendetektion - Ableitungsfiler

- Realisierung der symmetrischen Differenzen als Filter

$$H_x^D = \begin{bmatrix} -0.5 & 0 & 0.5 \end{bmatrix} = 0.5 \cdot \begin{bmatrix} -1 & 0 & 1 \end{bmatrix} \quad \text{und} \quad H_y^D = \begin{bmatrix} -0.5 \\ 0 \\ 0.5 \end{bmatrix} = 0.5 \cdot \begin{bmatrix} -1 \\ 0 \\ 1 \end{bmatrix}.$$

**Anmerkung:** Den Gradienten selbst kann man nicht direkt als linearen Filter realisieren, da es sich um ein vektorwertiges Ergebnis handelt.

- Beispiel:



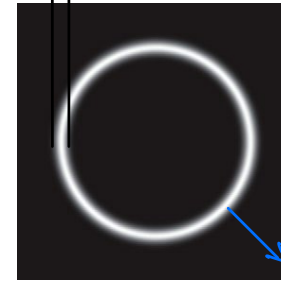
Intensität  $I$



Ableitung  $I_x$



Ableitung  $I_y$



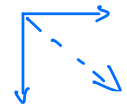
$|\nabla I|$

Betrag des Gradienten

- Skalierung  $I_x, I_y$  wie abgespeichert (d.h.  $\frac{df}{dx}(u) = 0$  entspricht Grauwert 127)
- Skalierung  $|\nabla I|$  so, dass Max- und Min-Wert genau auf Weiß bzw. Schwarz landen.

→ nicht 1 pixel

anfällig für  
Rauschen





# Einfache Kantenoperatoren – Prewitt-Operator

- **Prewitt:** Verwende Ableitungsfiler, gemittelt über 3 Zeilen bzw. Spalten

$$H_x^P = \begin{bmatrix} -1 & 0 & 1 \\ -1 & 0 & 1 \\ -1 & 0 & 1 \end{bmatrix} \quad \text{und} \quad H_y^P = \begin{bmatrix} -1 & -1 & -1 \\ 0 & 0 & 0 \\ 1 & 1 & 1 \end{bmatrix}, \quad \nabla I(u, v) \approx \frac{1}{6} \begin{bmatrix} H_x^P * I \\ H_y^P * I \end{bmatrix}$$

- Mittelung notwendig wegen Rauschanfälligkeit des einfachen Gradientenoperators in x bzw. y Richtung.

- Der Prewitt-Operator ist separabel:  $H_x^P = \begin{bmatrix} 1 \\ 1 \\ 1 \end{bmatrix} * [-1 \ 0 \ 1] \quad \text{bzw.} \quad H_y^P = [1 \ 1 \ 1] * \begin{bmatrix} -1 \\ 0 \\ 1 \end{bmatrix},$

- d.h. Es wird eine (Box-)Glättung gerechnet und dann eine Ableitung geschätzt.

- **Bemerkung:** Aufgrund der Kommutativität der Faltung auch umgekehrt möglich, d. h. Glättung nach Berechnung der Ableitung (aber nur in der passenden Richtung!).

# Einfache Kantenoperatoren – Sobel-Operator

- **Sobel:** Verwende Ableitungsfiler, gemittelt über 3 Zeilen bzw. Spalten mit stärkerer Gewichtung der mittleren Zeile bzw. Spalte.

$$H_x^S = \begin{bmatrix} -1 & 0 & 1 \\ -2 & 0 & 2 \\ -1 & 0 & 1 \end{bmatrix} \quad \text{und} \quad H_y^S = \begin{bmatrix} -1 & -2 & -1 \\ 0 & 0 & 0 \\ 1 & 2 & 1 \end{bmatrix}.$$

- Der Sobel-Operator ist ebenfalls separabel:

$$H_x^S = \begin{bmatrix} 1 \\ 2 \\ 1 \end{bmatrix} * [-1 \ 0 \ 1] \quad \text{und} \quad H_y^S = [1 \ 2 \ 1] * \begin{bmatrix} -1 \\ 0 \\ 1 \end{bmatrix}$$

↑ gew. Filter

- Gradient:  $\nabla I(u, v) \approx \frac{1}{8} \begin{bmatrix} H_x^S * I \\ H_y^S * I \end{bmatrix}$  (Normierung mit Summe der Beträge der Filterkoeffizienten)

# Kantendetektion mit Sobel-Operator

- bezeichne, unabhängig ob Prewitt- oder Sobel-Filter, die skalierten Filterergebnisse (Gradientenwerte)

mit

$$I_x = I * H_x \quad \text{und} \quad I_y = I * H_y.$$

- Die Kantenstärke ist  $E(u, v) = \sqrt{I_x^2(u, v) + I_y^2(u, v)}$

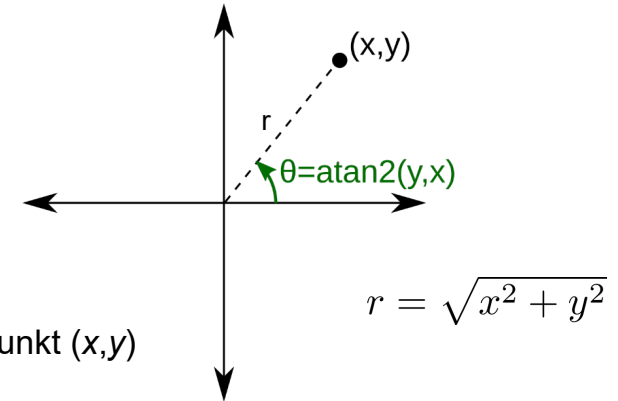
- **Kantenrichtung:**

- Falls  $x > 0$ :

$$\cos \theta = \frac{x}{r}, \quad \sin \theta = \frac{y}{r} \quad \Rightarrow \quad \frac{y}{x} = \frac{r \cdot \sin \theta}{r \cdot \cos \theta} = \tan \theta \quad \Rightarrow \quad \theta = \tan^{-1}\left(\frac{y}{x}\right)$$

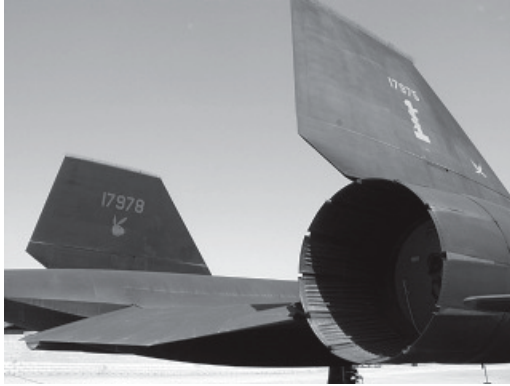
- Funktioniert so wie oben nur für  $x > 0$ , allgemeiner:

- Funktion **atan2(y, x)** beschreibt den Winkel  $\theta$  zwischen dem Strahl zum Punkt  $(x, y)$  und der positive  $x$ -Achse, begrenzt auf das Intervall  $(-\pi, \pi]$ .
- Gedrehte Reihenfolge der Argumente relevant!
- Ergebnis von **atan2(y, x)** dann auf 0,..360 Grad verschieben und skalieren
- atan2 in jeder gängigen Programmiersprache verfügbar
- Warum und wieso das den Winkel berechnet: <https://en.wikipedia.org/wiki/Atan2>

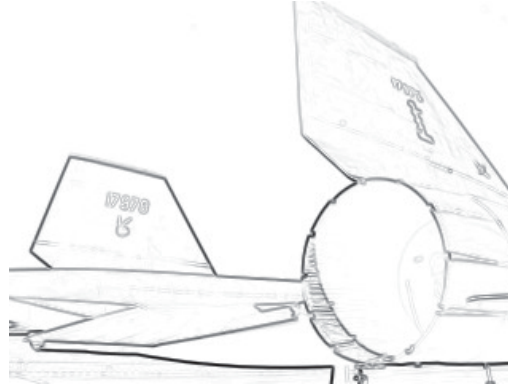


# Kantendetektion mit Sobel-Operator

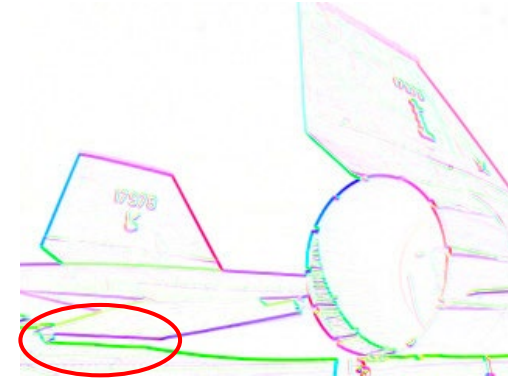
## ■ Beispiel:



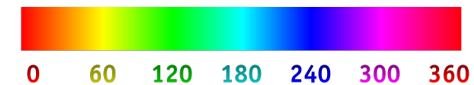
Originalbild



Kantenstärke - invertiert codiert  
(schwarz = hoher Betrag des Gradienten)



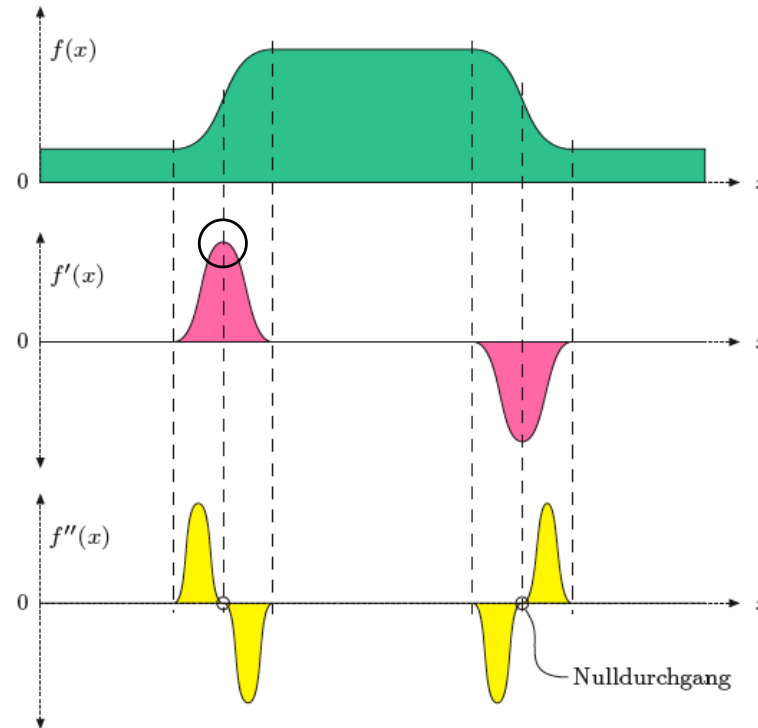
Kantenrichtung  
0° ... 360° in Farbe codiert,  
Farbsättigung = Kantenstärke



- Das Ergebnis des Kantenwinkels ist vorzeichenbehaftet, d.h. die markierten parallelen Kanten haben unterschiedliche Farben, da einmal “steigend” und einmal “fallend”
- farbliche Darstellung der Kantenorientierung eher unüblich, da visuell schwierig zu interpretieren

# Kantendetektion mit der zweiten Ableitung

- Die bisherigen Kantenoperatoren messen nur die erste Ableitung.
- Problematisch sind dabei Kanten mit einem langsamen Helligkeitswechsel, die sich damit nicht genau lokalisieren lassen.
- **Alternative:** Bestimmung des Nulldurchgangs der zweiten Ableitung.
- Da die zweite Ableitung noch empfindlicher gegen Rauschen ist, muss das Bild gleichzeitig geglättet werden.
- **Gesucht:** 2D Version für Bilder



# Kantendetektion mit Laplace Operator

$\partial^2_{xx}$  = 2x in "x" ableiten

- Der Laplace-Operator ist definiert als Summe der zweiten partiellen Ableitungen

$$\nabla^2 f(x, y) = \frac{\partial^2 f}{\partial x^2}(x, y) + \frac{\partial^2 f}{\partial y^2}(x, y) = \partial_{xx}^2 f(x, y) + \partial_{yy}^2 f(x, y)$$

korrektur differenzieren

- Diskrete Näherung:

- Verwende hier die einfache (nicht symmetrische) Vorwärtsdifferenz für Ableitungen:  $\frac{df(u)}{du} \approx f(u+1) - f(u)$
- Zweite Ableitung ist dann eine Differenz von Differenzen

$$\frac{d^2 f(u)}{du^2} \approx \frac{df(u)}{du} - \frac{df(u-1)}{du} \approx f(u+1) - f(u) - (f(u) - f(u-1)) = f(u+1) - 2f(u) + f(u-1)$$

Rückwärts differenzieren

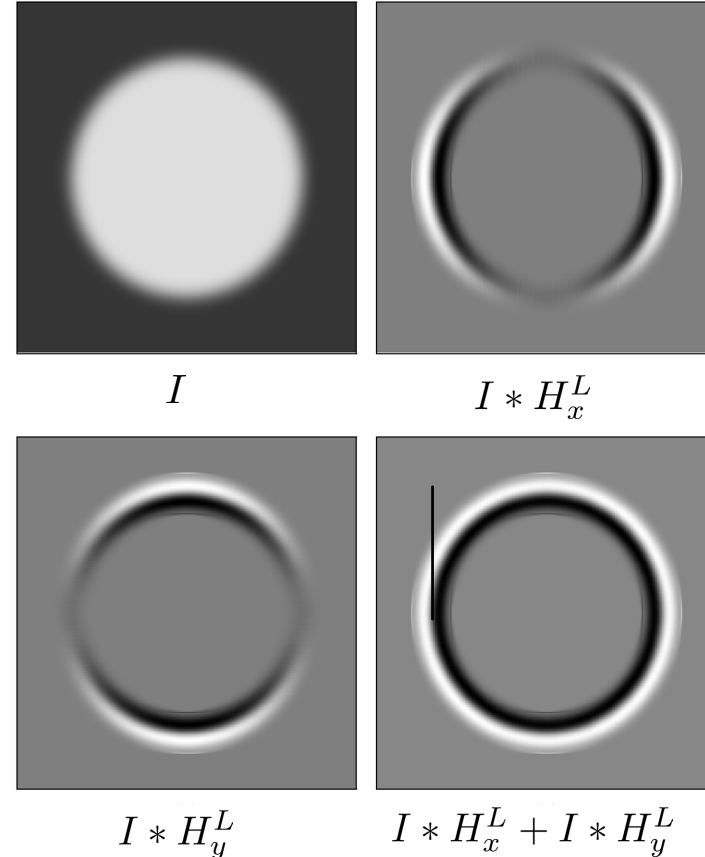
- Als Filter:  $\partial_{xx}^2 \approx H_x^L = \begin{bmatrix} 1 & -2 & 1 \end{bmatrix}$  und  $\partial_{yy}^2 \approx H_y^L = \begin{bmatrix} 1 \\ -2 \\ 1 \end{bmatrix}$
- Addiert ergibt sich der zweidimensionale Laplace Filter:  $H^L = H_x^L + H_y^L = \begin{bmatrix} 0 & 1 & 0 \\ 1 & -4 & 1 \\ 0 & 1 & 0 \end{bmatrix}$
- Nicht separabel aber effizienter berechenbar als:  $I * H^L = I * (H_x^L + H_y^L) = I * H_x^L + I * H_y^L$

# Kantendetektion mit Laplace Operator

**Beispiel:** Anwendung auf Testbild

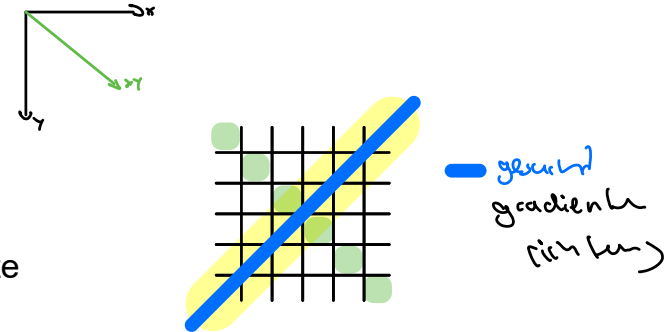
- Nulldurchgang markiert genaue Kantenposition.
- Trotz der durch die kleinen Filterkerne ziemlich groben Schätzung der Ableitungen ist das Ergebnis fast perfekt isotrop.
- Summe der Koeffizienten ist null, so dass sich in Bildbereichen mit konstanter Intensität die Filterantwort null ergibt (wie bei Gradientenfiltern)
- Weitere gebräuchliche Varianten von  $3 \times 3$  Laplace-Filtern sind:

$$H_8^L = \begin{bmatrix} 1 & 1 & 1 \\ 1 & -8 & 1 \\ 1 & 1 & 1 \end{bmatrix} \quad \text{oder} \quad H_{12}^L = \begin{bmatrix} 1 & 2 & 1 \\ 2 & -12 & 2 \\ 1 & 2 & 1 \end{bmatrix}.$$



# Kanten-Detektion: Canny Algorithmus

- Der von Canny 1986 vorgestellte Kantenoperator ist ein sehr verbreitetes Verfahren und gilt auch heute noch als „State of the Art“.
  - Z.B. in der Bibliothek OpenCV vorhanden.
- **Ziele**
  - Gute Detektion: möglichst alle Kanten detektieren, ohne zu viel Clutter.
  - Gute Lokalisation: minimale Distanz zwischen detektierter und echter Kante
  - Klare Antwort: nur eine Antwort pro Kante
- Der optimale Filter wurde von Canny durch Variationsrechnung abgeleitet.
- In seiner vollständigen Form verwendet der Operator einen Satz von (relativ großen) gerichteten Filtern auf mehreren Auflösungsebenen und fügt die Ergebnisse der verschiedenen Skalenebenen in ein gemeinsames Kantenbild („edge map“) zusammen.
- Meistens wird der Algorithmus allerdings nur im „single-scale“-Modus verwendet, wobei aber bereits damit (bei passender Einstellung des Glättungsradius  $\sigma$ ) eine gegenüber einfachen Operatoren deutlich verbesserte Kantendetektion festzustellen ist.
- **Hier:** nur eine Auflösungsstufe.





# Kanten-Detektion: Canny Algorithmus

## Algorithmus in 3 Arbeitsphasen:

**1. Vorverarbeitung:** Das Eingangsbild wird mit einem Gaußfilter der Breite  $\sigma$  geglättet. Aus dem geglätteten Bild wird für jede Position der x/y-Gradient berechnet sowie dessen Betrag und Richtung.

- **Zwischenergebnis nach 1:** über mehrere Pixelbreiten steigende Intensitäten erzeugen mehrere Pixel nebeneinander als Kandidaten für die Kante

**2. Kantenlokalisierung:** Als Kantenpunkte werden jene Positionen markiert, an denen der Betrag des Gradienten ein lokales Maximum entlang der zugehörigen Gradientenrichtung aufweist.

- **Zwischenergebnis nach 2:** „Dicke“ der Kanten damit beseitigt, bleiben zu viele Pixel, die zwar Intensitätsänderung haben, aber nicht Teil eines längeren Kantenzuges sind.

**3. Kantenselektion und -verfolgung:** Im abschließenden Schritt werden unter Verwendung eines Hysterese-Schwellwerts zusammenhängende Ketten von Kantenelementen gebildet.

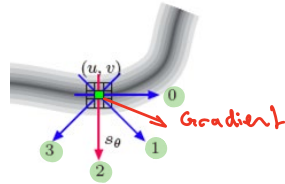
- **Aufgabe:** Finde also rekursiv diejenigen Pixel, deren Nachbapixel auch Kantenkandidaten sind

# Kanten-Detektion: Canny Algorithmus

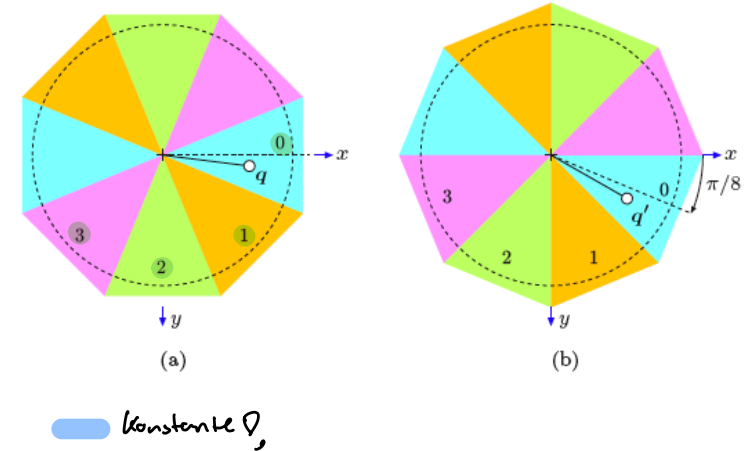
**Ziel:** „Kantendicke schrumpfen“

- Gradientenrichtung gibt Richtung quer zur Kante an
- Die Gradientenrichtung an der Position  $(u, v)$  wird grob in vier diskrete Winkel  $s_\theta \in \{0, 1, 2, 3\}$  quantisiert (a).

■ **Grund:** einfache Navigation zu den Nachbarn mit Indices!



- Winkelberechnung des Gradienten mit x-Achse aufwändig
- Daher:  $q$  um  $\pi/8$  nach  $q'$  rotieren,
- Dann performante Bestimmung des Oktanten mit Vergleichen und logischer Verknüpfung (keine Winkelberechnung!)
- Richtungsvektoren in den anderen Oktanten werden in die Oktanten  $s_\theta = 0, 1, 2, 3$  gespiegelt.



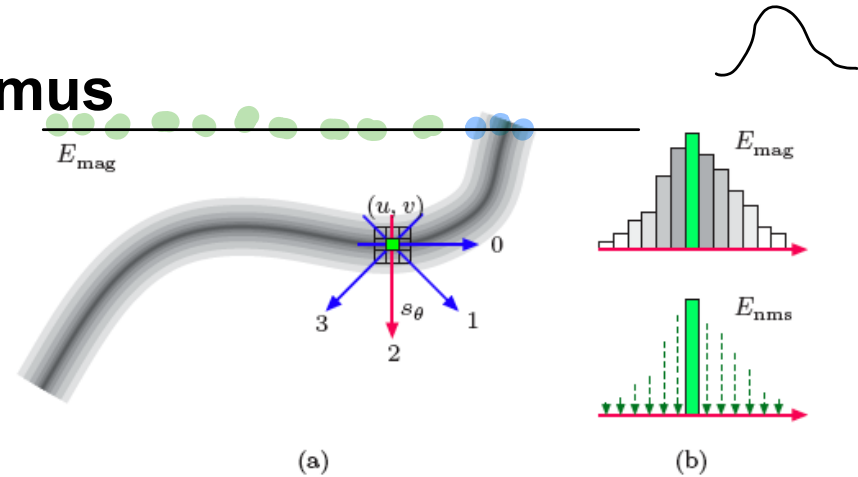
```

1: GetOrientationSector( $d_x, d_y$ )
   Returns the orientation sector  $s_\theta$  for the 2D vector  $(d_x, d_y)^T$ . See Fig.
   6.12 for an illustration.
2:  $\begin{pmatrix} d'_x \\ d'_y \end{pmatrix} \leftarrow \begin{pmatrix} \cos(\pi/8) & -\sin(\pi/8) \\ \sin(\pi/8) & \cos(\pi/8) \end{pmatrix} \cdot \begin{pmatrix} d_x \\ d_y \end{pmatrix}$   $\triangleright$  rotate  $\begin{pmatrix} d_x \\ d_y \end{pmatrix}$  by  $\pi/8$ 
3: if  $d'_y < 0$  then
4:    $d'_x \leftarrow -d'_x, \quad d'_y \leftarrow -d'_y$   $\triangleright$  mirror to octants 0, ..., 3
5:    $s_\theta \leftarrow \begin{cases} 0 & \text{if } (d'_x \geq 0) \wedge (d'_y \geq d'_x) \\ 1 & \text{if } (d'_x \geq 0) \wedge (d'_x < d'_y) \\ 2 & \text{if } (d'_x < 0) \wedge (-d'_x < d'_y) \\ 3 & \text{if } (d'_x < 0) \wedge (-d'_x \geq d'_y) \end{cases}$ 
6: return  $s_\theta$ .  $\triangleright$  sector index  $s_\theta \in \{0, 1, 2, 3\}$ 
    
```

# Kanten-Detektion: Canny Algorithmus

Nachdem diese **Richtung** gefunden ist:

- Als mögliche Kantenpunkte werden nur jene Elemente betrachtet, an denen das (eindimensionale) Kantenprofil in der Richtung  $s_\theta$  ein **lokales Maximum** ist (b).
- Betrachte dazu die Indexnachbarn in der diskreten Gradienten-Richtung
- Die Kantenstärke aller anderen Elemente wird auf Null gesetzt („suppressed“).



```

7: isLocalMax( $E_{\text{mag}}, u, v, s_\theta, t_{lo}$ )
   Determines if the gradient magnitude  $E_{\text{mag}}$  is a local maximum at
   position  $(u, v)$  in direction  $s_\theta \in \{0, 1, 2, 3\}$ .
8:  $m_C \leftarrow E_{\text{mag}}(u, v)$ 
9: if  $m_C < t_{lo}$  then
10:    return false
11: else
12:     $(m_L, m_R) \leftarrow \begin{cases} (E_{\text{mag}}(u-1, v), E_{\text{mag}}(u+1, v)) & \text{if } s_\theta = 0 \\ (E_{\text{mag}}(u-1, v-1), E_{\text{mag}}(u+1, v+1)) & \text{if } s_\theta = 1 \\ (E_{\text{mag}}(u, v-1), E_{\text{mag}}(u, v+1)) & \text{if } s_\theta = 2 \\ (E_{\text{mag}}(u-1, v+1), E_{\text{mag}}(u+1, v-1)) & \text{if } s_\theta = 3 \end{cases}$ 
13:    return  $(m_L \leq m_C) \wedge (m_C \geq m_R)$ 
    
```

Speicher:

$I$  - Bild  
 $I_x$  - Bild mit x-Ableitungen  
 $I_y$  - Bild mit y-Ableitungen

$E_{\text{mag}}$  - Größe der Gradienten

Nur local max

- Damit Schritt 2 des Algorithmus abgearbeitet

# Kanten-Detektion: Canny Algorithmus

finden nachher die zu  
Kanten gehören können!

## Kantenverfolgung mit Hysterese-Schwellwert

- benachbarte Kantenpunkte, die in der vorherigen Operation als lokale Maxima verblieben sind, zu zusammenhängenden Folgen verketteten.
- Dazu wird eine Schwellwertoperation mit Hysterese verwendet, mit zwei unterschiedlichen Schwellwerten  $t_{hi}$  und  $t_{lo}$ , (wobei  $t_{hi} > t_{lo}$ ).
- Das Bild wird nach Elementen mit Kantenstärke  $E_{nms}(u, v) \geq t_{hi}$  durchsucht,
- Sobald ein solches (bisher nicht besuchtes) Pixel gefunden ist, wird eine neuer Kantenfolge angelegt und alle zusammenhängenden Positionen  $(u', v')$  angefügt, solange  $E_{nms}(u', v') \geq t_{lo}$ .
- Dadurch entstehen nur Kantenfolgen, die zumindest ein Element mit einer Kantenstärke größer als  $t_{hi}$  aufweisen und keinen Kantenpunkt mit Kantenstärke unter  $t_{lo}$ .

```
14: TraceAndThreshold( $E_{nms}, E_{bin}, u_0, v_0, t_{lo}$ )  
    Recursively collects and marks all pixels of an edge that are 8-  
    connected to  $(u_0, v_0)$  and have a gradient magnitude above  $t_{lo}$ .  
15:  $E_{bin}(u_0, v_0) \leftarrow 1$  ▷ mark  $(u_0, v_0)$  as an edge pixel  
16:  $u_L \leftarrow \max(u_0 - 1, 0)$  ▷ limit to image bounds  
17:  $u_R \leftarrow \min(u_0 + 1, M - 1)$   
18:  $v_T \leftarrow \max(v_0 - 1, 0)$   
19:  $v_B \leftarrow \min(v_0 + 1, N - 1)$   
20: for  $u \leftarrow u_L, \dots, u_R$  do  
21:     for  $v \leftarrow v_T, \dots, v_B$  do  
22:         if  $(E_{nms}(u, v) \geq t_{lo}) \wedge (E_{bin}(u, v) = 0)$  then  
23:             TraceAndThreshold( $E_{nms}, E_{bin}, u, v, t_{lo}$ )  
24: return
```

rekursiv ↻ Rekursiv

# Kanten-Detektion: Canny-Algorithmus

## Gesamt-Algorithmus:

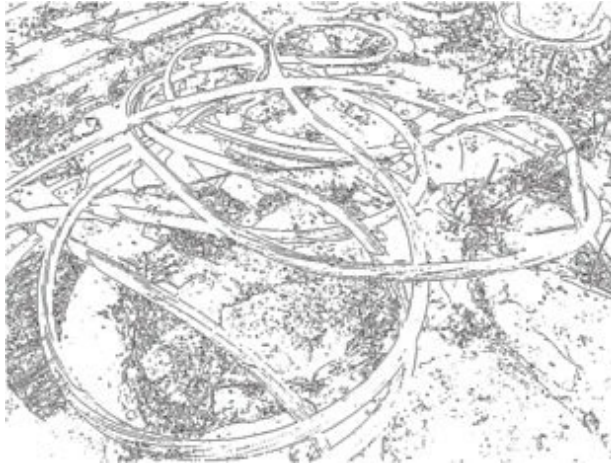
```
1: CannyEdgeDetector( $I, \sigma, t_{hi}, t_{lo}$ )  
   Input:  $I$ , a grayscale image of size  $M \times N$ ;  
    $\sigma$ , scale (radius of Gaussian filter  $H^{G,\sigma}$ );  
    $t_{hi}, t_{lo}$ , hysteresis thresholds ( $t_{hi} > t_{lo}$ ).  
   Returns a binary edge image of size  $M \times N$ .  
  
2:  $\bar{I} \leftarrow I * H^{G,\sigma}$  ▷ blur with Gaussian of width  $\sigma$   
3:  $\bar{I}_x \leftarrow \bar{I} * [-0.5 \ 0 \ 0.5]$  ▷  $x$ -gradient  
4:  $\bar{I}_y \leftarrow \bar{I} * [-0.5 \ 0 \ 0.5]^T$  ▷  $y$ -gradient  
5:  $(M, N) \leftarrow \text{Size}(I)$   
6: Create maps:  
7:    $E_{mag} : M \times N \mapsto \mathbb{R}$  ▷ gradient magnitude  
8:    $E_{nms} : M \times N \mapsto \mathbb{R}$  ▷ maximum magnitude  
9:    $E_{bin} : M \times N \mapsto \{0, 1\}$  ▷ binary edge pixels  
10: for all image coordinates  $(u, v) \in M \times N$  do  
11:    $E_{mag}(u, v) \leftarrow [\bar{I}_x^2(u, v) + \bar{I}_y^2(u, v)]^{1/2}$   
12:    $E_{nms}(u, v) \leftarrow 0$   
13:    $E_{bin}(u, v) \leftarrow 0$   
  
14: for  $u \leftarrow 1, \dots, M-2$  do  
15:   for  $v \leftarrow 1, \dots, N-2$  do  
16:      $d_x \leftarrow \bar{I}_x(u, v), \quad d_y \leftarrow \bar{I}_y(u, v)$   
17:      $s_\theta \leftarrow \text{GetOrientationSector}(d_x, d_y)$  ▷ Alg. 6.2  
18:     if  $\text{IsLocalMax}(E_{mag}, u, v, s_\theta, t_{lo})$  then ▷ Alg. 6.2  
19:        $E_{nms}(u, v) \leftarrow E_{mag}(u, v)$  ▷ only keep local maxima  
20:   for  $u \leftarrow 1, \dots, M-2$  do  
21:     for  $v \leftarrow 1, \dots, N-2$  do  
22:       if  $(E_{nms}(u, v) \geq t_{hi}) \wedge (E_{bin}(u, v) = 0)$  then  
23:          $\text{TraceAndThreshold}(E_{nms}, E_{bin}, u, v, t_{lo})$  ▷ Alg. 6.2  
24: return  $E_{bin}$ .
```

# Kanten-Detektion: Canny-Algorithmus

## Vergleich Canny-Algorithmus vs. Sobel-Operator

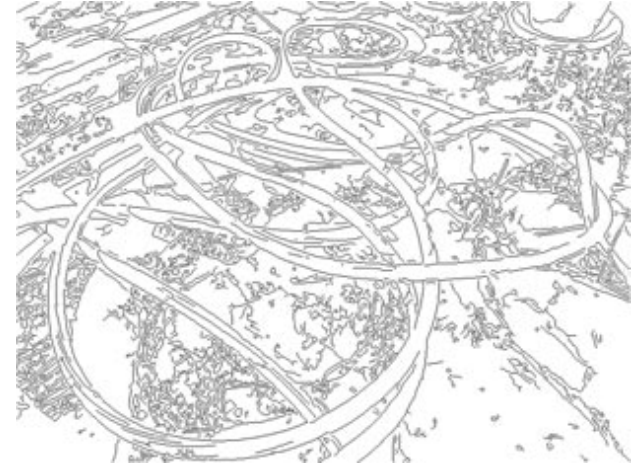


Original



Sobel-Operator

- zu viel information
- nicht erkennen der relevanten kanten



Canny-Algorithmus

- besser
- Anstieg beginnt in der Mitte der Kante
- 1 pixel breit

\* Sperry Kurs 5

# Kantenschärfung mit Laplace Filter

**Grundidee:** Überhöhung der Kanten durch Subtraktion der zweiten Ableitung lässt das Bild schärfer erscheinen.

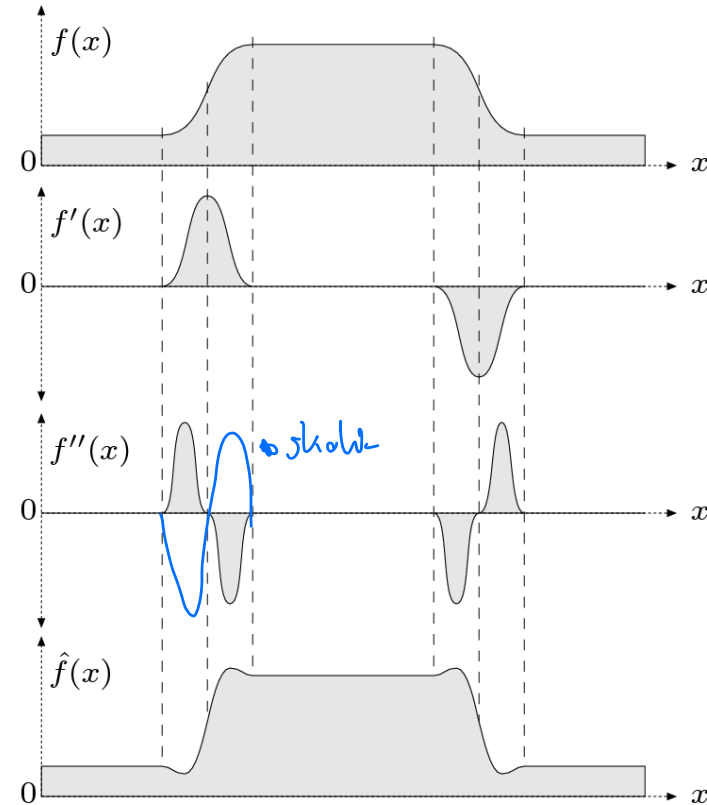
- Vorgehen:

$$I' = I - wH^L * I$$

$w$  bestimmt die Stärke der Schärfung.

**Bemerkungen:**

- Es handelt sich im Wesentlichen um einen künstlich erzeugten Mach-Band-Effekt!
- Schärfung verstärkt auch das Bildrauschen.
- Sinnvoll nur mit eher kleinen Werten für  $w$ .



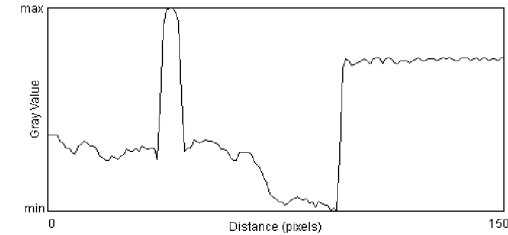
# Kantenschärfung mit Laplace Filter

**Beispiel:** einfache Kantenschärfung mit dem Laplace-Filter.

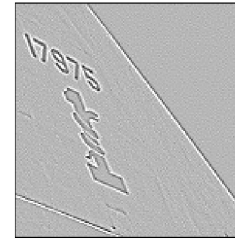
- Originalbild und Profil der markierten Bildzeile
  - Abbildungen (a) und (b)
- Ergebnis des Laplace-Filters  $H^L$ ,
  - Abbildungen (c) und (d)
- geschärftes Bild mit Schärfungsfaktor  $w = 1.0$ 
  - Abbildungen (e) und (f)
- **sichtbar:** prinzipieller Effekt der Schärfung von Kanten
- **aber auch:** verstärktes Rauschen in Bereichen ohne Kanten.



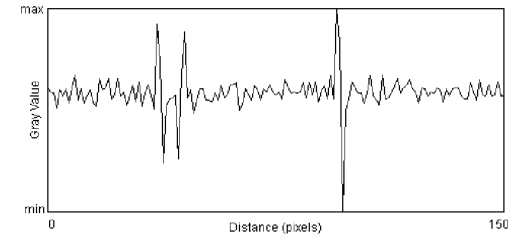
(a)



(b)



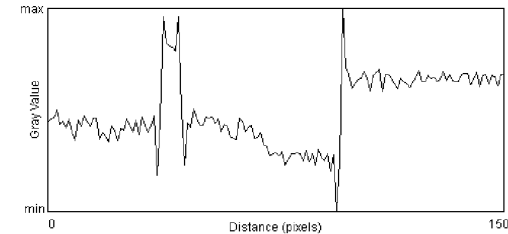
(c)



(d)



(e)



(f)

mehr  
Rauschen  
durch  
Skalieren



# Kantenschärfung mit Unsharp masking (USM)

## Verallgemeinerung der Schärfung:

1. Erzeugung einer geglätteten Version des Bildes (z.B. mit einem Gaußfilter oder einer anderen Glättung  $H$ )

2. Subtraktion der geglätteten Version vom Originalbild:

$$M = I - I * H \quad (\text{Ergebnis heißt Maske})$$

3. Addition der gewichteten Maske zum Originalbild

$$\begin{aligned} I' &= I + aM \\ &= (1 + a)I - aI * H \end{aligned}$$

- $a$  kontrolliert den Schärfungsgrad ( $a$  in  $[0.2; 4]$ ),
- die Breite  $\sigma$  des Gaußfilters die Rauschempfindlichkeit.

## Zusammenhang Laplace-Filter und USM

- Laplace:

$$H^L = \begin{bmatrix} 0 & 1 & 0 \\ 1 & -4 & 1 \\ 0 & 1 & 0 \end{bmatrix} = \begin{bmatrix} 0 & 1 & 0 \\ 1 & 1 & 1 \\ 0 & 1 & 0 \end{bmatrix} - 5 \begin{bmatrix} 0 & 0 & 0 \\ 0 & 1 & 0 \\ 0 & 0 & 0 \end{bmatrix} = 5 \cdot (\tilde{H}^L - \delta),$$

- Damit entspricht die Laplace Schärfung

$$\begin{aligned} I' &= I - wH^L * I \\ &= I - 5w(\hat{H}^L * I - I) \\ &= I + 5w(I - \hat{H}^L * I) \\ &= I + 5wM \end{aligned}$$

einer USM Schärfung mit

$$\hat{H}^L = \frac{1}{5} \begin{bmatrix} 0 & 1 & 0 \\ 1 & 1 & 1 \\ 0 & 1 & 0 \end{bmatrix} \quad \text{und} \quad a = 5w$$

# Kantenschärfung mit Unsharp masking (USM)

## Schärfung abhängig von lokalem Bildkontrast

- Oft zusätzlich Mindestwert für den lokalen Bildkontrast, ab dem eine Schärfung vorgenommen wird.
- typischerweise gemessen durch den Betrag des Gradienten  $|\nabla I|$ , ab dem eine Schärfung an der Stelle  $(u, v)$  stattfindet.

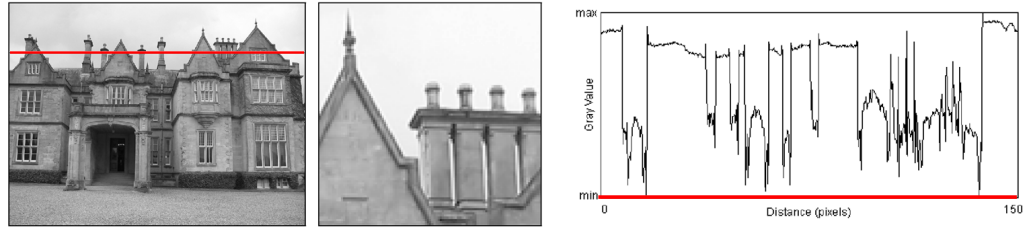
$$\tilde{I}(u, v) \leftarrow \begin{cases} I(u, v) + a \cdot M(u, v) & \text{für } |\nabla I|(u, v) \geq t_c, \\ I(u, v) & \text{sonst.} \end{cases}$$

- **Effekt:** ohnehin eher scharfe Kanten werden noch schärfer, weichere Kanten bzw. Farbverläufe bleiben ungeschärft.

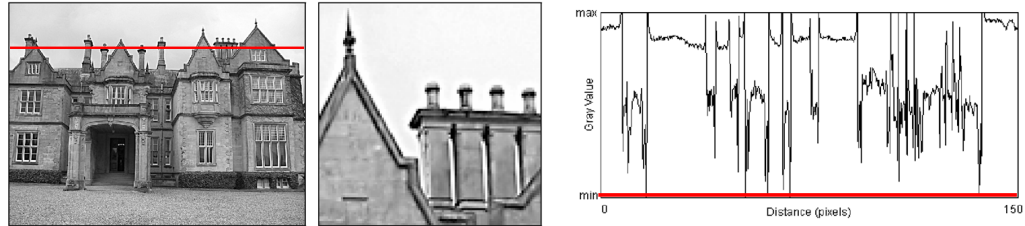
# Kantenschärfung mit Unsharp masking (USM)

## Beispiel

- Originalbild (obere Reihe)
- USM-Filter für unterschiedliche Radien  $\sigma = 2.5$  und  $10.0$ . (mittlere und unterer Reihe)
- Der Wert des Parameters  $a$  (Stärke der Schärfung) ist 100%.



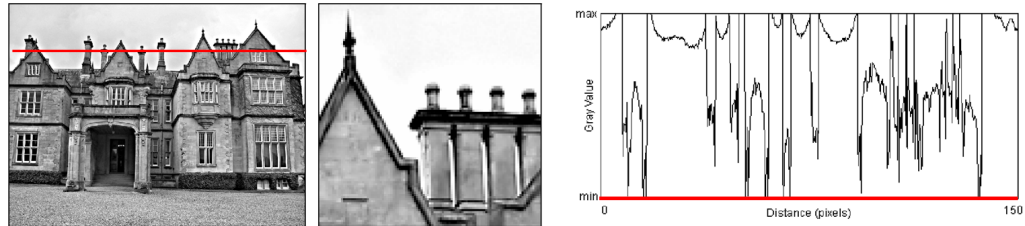
Original



$\sigma = 2.5$

## Vorteil USM gegenüber Laplace:

- Geringere Rauschanfälligkeit wegen Glättung
- Einstellbarkeit durch Parameter



$\sigma = 10.0$

# Kantendetektion - Fazit

## Kantendetektion über geschätzte erste bzw. zweite Ableitungen

- Nutzung der Filter-Algorithmik
- Problem ist generell die Rauschanfälligkeit der Verfahren
  - Größerer Intensitätsunterschied könnte Rauschen aber auch Kante sein

## Generell:

- bisherige Verfahren detektieren Kanten auf „Pro-Pixel-Basis“ wie z.B. bei Sobel
- Oder auf Pixel-Ketten wie bei Canny

## Problem:

- Keine Informationen vorhanden über ganze Objekte die dann aus Pixeln approximiert werden
- Pixel-Fehler bedeuten immer Unterbrechung der Kante, daher Objekt Rekonstruktion aus Pixeln (wie bei Canny rudimentär versucht) immer problematisch ohne Kenntnisse über die zu suchende Form.

## Reale Anforderungen:

- Praxis-Aufgaben meist spezieller als „Finde Helligkeitsunterschiede“, eher „Finde Objekt xy“